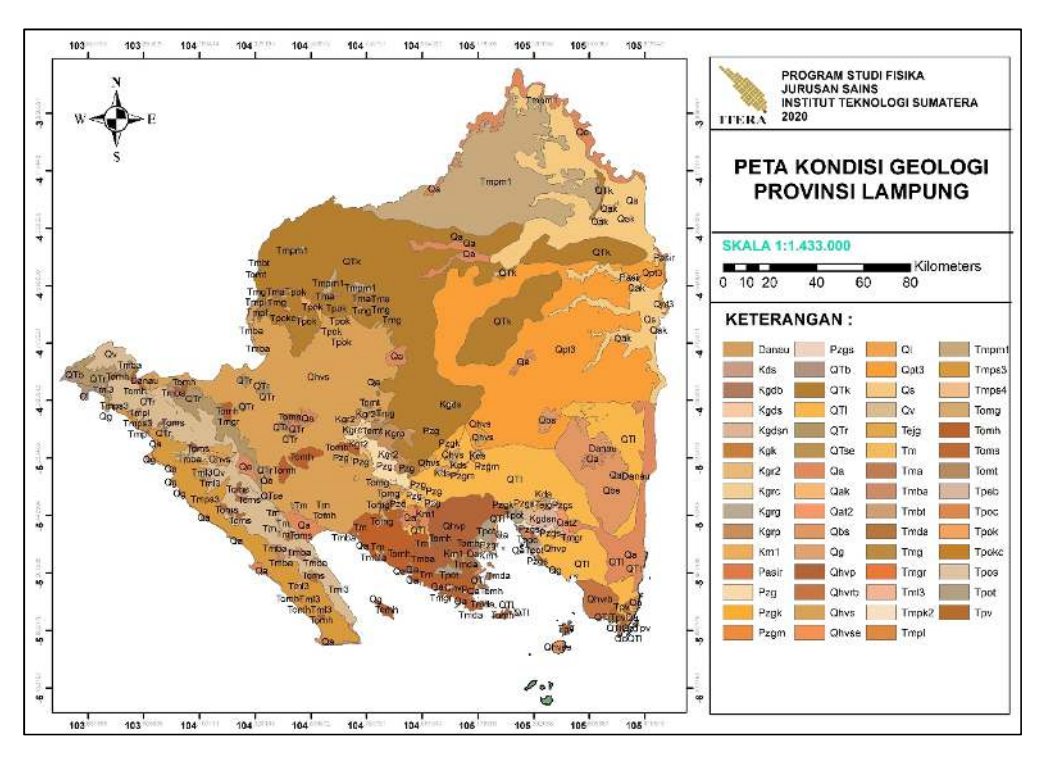
# BAB II KAJIAN TEORI

## 2.1 Kondisi Geologi dan Seismotektonik

Letak geologi Provinsi Lampung berada pada zona subduksi Lempung *Indo-Australia* dan Lempung *Eurasia*. Sesar Semangko yang memanjang dari Provinsi Aceh hingga Provinsi Lampung menjadi penyebab daerah Provinsi Lampung begitu rawan terhadap gempa bumi dan tsunami. Panjang Sesar Semangko sekitar 1.900 km. Hasil dari Sesar Semangko berupa Danau Sigkarak yang adalah amblesan akibat pergeseran Sesar Semangko yang terbentuk di Lembah Souh di Lampung Barat. Zona subduksi adalah Lempeng Tektonik Asia dengan Lempeng Tektonik Australia. Dimana jika zona gempa bersumber di laut dengan kedalaman dangkal maka akan mengakibatkan tsunami yang pernah terjadi pada tahun 2004 di Aceh. Zona gempa ini bergerak menunjam ke bawah hinggal kedalaman lebih dari 70 km. Zona ini akan membentuk gunung-gunung yang berada di sepanjang zona subduksi yang menghasilkan sumber magma gunung-gunung api.

**Tabel 1.** Rekaman Sejarah Gempa Lampung selatan dan sekitarnya (BMKG,2019)

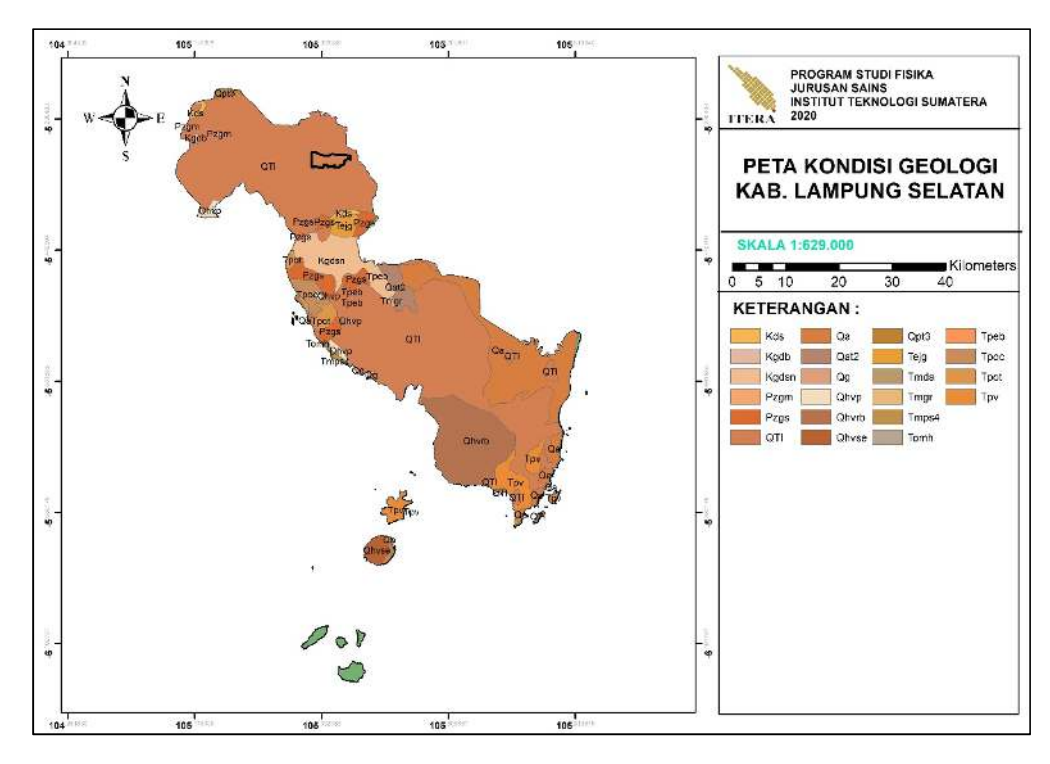
Tanggal	Waktu Gempa	Koordinat	Depth(Km)	Mag(SR)
	(WIB)			
12-09-2019	15:33:06	5.77 LS – 105.43 BT	1	2.9
15-04-2018	01:02:21	6.17 LS – 105.43 BT	10	5.1
25-04-2017	04:28:56	6.17 LS – 105.36 BT	10	5.1
28-07-2016	10:32	6.12 LS – 105.33 BT	10	5.0



Gambar 2. Peta kondisi geologi Lampung

Berdasarkan peta geologi daerah penelitian kita dapat mengetahui geologi penyusun Provinsi Lampung, yaitu **Qs** adalah endapan rawa berupa lumpur, lanau, dan pasir, **Qa** adalah Aluvium berupa kerakal, kerikil, pasir, lempung dan gambut, **Qg** adalah batugamping koral berupa batugamping koral, **Qat** adalah alluvium tua berupa konglomerat, kerakal, kerikil, dan pasir, **Qhv(r,pb,rb)** adalah endapan gunungapi muda berupa lava (andesit-basal), breksi, tuf, **Qbs** adalah basal sukadana berupa basal berongga, **Qpt** adalah formasi terbanggi berupa batupasir dengan sisipan batulempung, **QTk** adalah formasi kasai berupa tuf, batulempung tufan, batulempung, batupasir, dan konglomerat, **QTl** adalah formasi lampung berupa tuf berbatuapung, tuf riolitik, tuf padu tufit, batulempung tufan dan batupasir tufan, **Tpw** adalah andesit berupa lava andesit dengan kekar lembar, **Tmpk** adalah formasi kantur berupa perselingan antara tufit, batulempung karbonan, batulanau karbonan dan barupasir, **Tmps** adalah formasi surungbatang berupa tufit, breksi tufan, tuf pasiran, dan grewake, **Tomh** adalah formasi

hulusimpang berupa lava andesit basal, tuf dan breksi gunungapi berubah dengan lensa batugamping, formasi camping berupa bagian bawah terdiri dari perselingan batulempung, serpih, breksi dan tuf padu. Bagian atas terdiri dari breksi aneka bahan dengan sisipan batupasir dan batulanau, Tpos adalah formasi sabu berupa perselingan antara breksi konglomerat dengan batupasir, Tpot adalah formasi tarahan berupa tuf padu, breksi dengan sisipan rijang, Km adalah formasi menanga berupa perselingan serpih dan batulempung dengan basal, sisipan rijang dan lensa batugamping, Pzg adalah kompleks g.kasih tak terpisahkan berupa terutama sekis pelitan dan sedikit gnes, mencakup Pzk, Pzgm, Pzgs adalah sekis way galih berupa sekis amfibol hijau, amfibol orthogenes dioritan, Pzgm adalah batupualam trimulyo berupa batupualam dan sekis, Pzgk adalah kuarsit sidodadi berupa kuarsit dengan sisipan sekis-kuarsa serisit, **Pzgmt** adalah migmatt jundeng berupa campuran granitoid dan sekis atau genes, diterobos oleh urat granit pegmatitan, Tmda adalah dasit piabung berupa dasit, Tmgr adalah batuan granit tak terpisahkan berupa granit dan granodiorite, **Tejg** adalah granit jatibaru berupa granit merah jambu, Tpeb adalah sumbat basal berupa basal, Kgdb adalah granodiorit branti berupa granodiorit dan diorite, Kgk adalah granit kalimangan berupa granit, granodiorit dan diorit, Kgds adalah granodiorite seputih berupa granodiorit, Kds adalah diorit sekampung terdaunkan berupa diorit, dan diorit kuarsa, Kgdsn adalah granodiorite sulan berupa granodiorit dan tonalit.



Gambar 3. Peta geologi Kab.Lampung Selatan

Adapun peta kondisi geologi Kab.Lampung Selatan sebagai berikut **Kds** adalah diorit sekampung terdaunkan berupa diorit, dan diorit kuarsa, **Kgdb** adalah granodiorit branti berupa granodiorit dan diorite **Kgdsn** adalah granodiorite sulan berupa granodiorit dan tonalit, **QTI** adalah formasi lampung berupa tuf berbatuapung, tuf riolitik, tuf padu tufit, batulempung tufan dan batupasir tufan, **Qa** adalah Aluvium berupa kerakal, kerikil, pasir, lempung dan gambut, **Qat** adalah alluvium tua berupa konglomerat, kerakal, kerikil, dan pasir, **Qg** adalah batugamping koral berupa batugamping koral ,**Qpt** adalah formasi terbanggi berupa batupasir dengan sisipan batulempung, **Tejg** adalah granit jatibaru berupa granit merah jambu, **Tmgr** adalah batuan granit tak terpisahkan berupa granit dan granodiorite, **Tmps** adalah formasi surungbatang berupa tufit, breksi tufan, tuf pasiran, dan grewake, **Tomh** adalah formasi hulusimpang berupa lava andesit basal, tuf dan breksi gunungapi berubah dengan lensa batugamping, formasi camping berupa bagian bawah terdiri dari perselingan batulempung, serpih, breksi dan tuf padu. Bagian atas terdiri dari breksi aneka bahan dengan sisipan batupasir

dan batulanau, **Tpeb** adalah sumbat basal berupa basal, **Tpos** adalah formasi sabu berupa perselingan antara breksi konglomerat dengan batupasir.

# 2.2 Gelombang Seismik

Gelombang seismik adalah gelombang yang merambat karena adanya gangguan disekitar medium dari permukaan bumi yang berasal dari aktivitas seismik. Adapun dua tipe gelombang berdasarkan penjalarannya yaitu gelombang badan (body wave) dan gelombang permukaan (surface wave).

## 2.2.1 Gelombang Badan (body Wave)

# 2.2.1.a Gelombang Primer (Gelombang P)

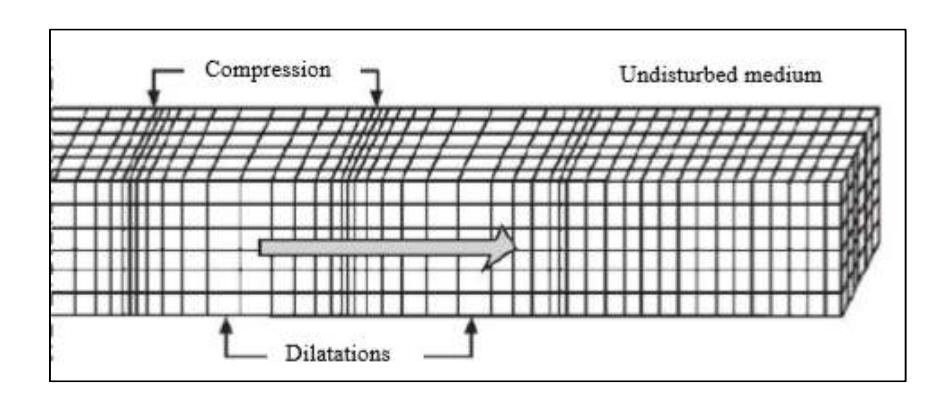
Gelombang primer adalah gelombang yang arah pergerakan dan getaran partikel medium searah dengan permukaan perambatan gelombang tersebut. Gelombang primer memiliki perambatan lebih cepat dibandingkan dengan gelombang sekunder. Gelombang primer dapat merambat dalam semua medium yaitu padat, cair, dan gas. Persamaan dari kecepatan gelombang primer adalah

$$V_p = \sqrt{\frac{\lambda + 2\mu}{\rho}} \tag{1}$$

Dengan :  $\lambda = konstanta \ lame$ 

 $\mu = rigiditas$ 

 $\rho = densitas$ 

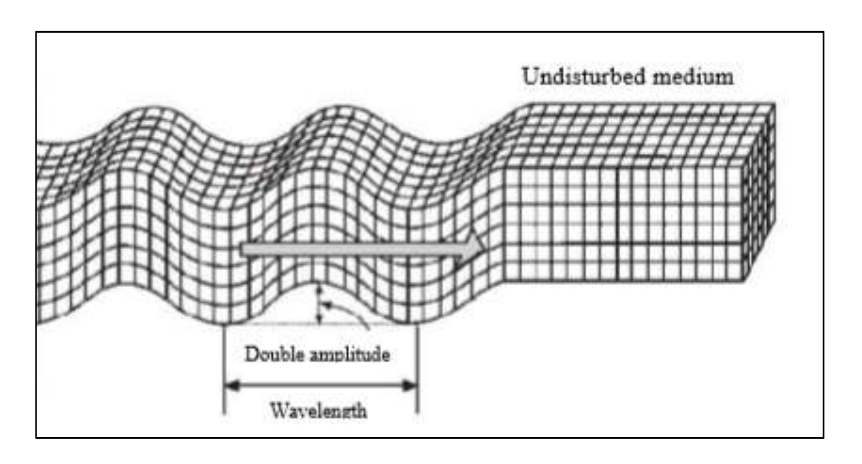


Gambar 4. Gerak Gelombang Primer Seismik [8]

### 2.2.1.b Gelombang Sekunder (Gelombang S)

Gelombang sekunder adalah gelombang yang arah getarannya tegak lurus terhadap arah perambatan gelombang. Gelombang sekunder hanya merambat pada medium padat.

$$V_{s} = \sqrt{\frac{\mu}{\rho}} \tag{2}$$

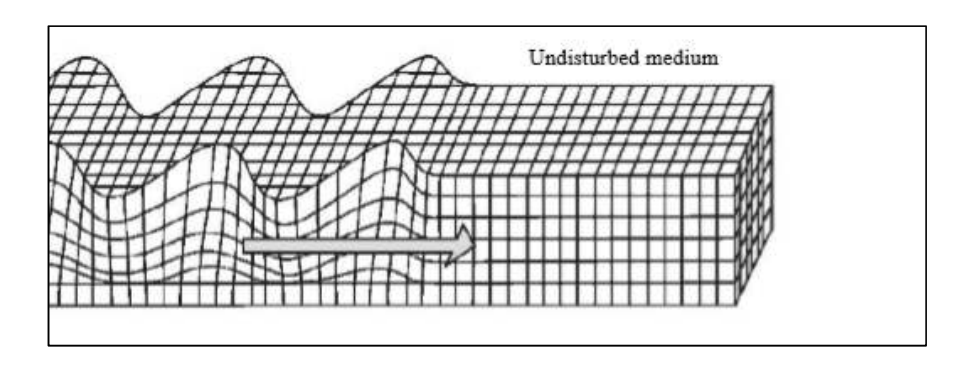


Gambar 5. Gerak Gelombang Sekunder Seismik [8]

### 2.2.2 Gelombang Permukaan (surface wave)

## 2.2.2.a Gelombang Love

Gelombang yang arah rambat partikelnya bergetar melintang terhadapa arah penjalarannya. Gelombang Love merupakan gelombang transversal. Gelombang Love ditemukan oleh ahli matematika A.E.H Love melalui permodelan matematika pada tahun 1911. Gelombang Love adalah gelombang permukaan yang tercepat daripada gelombang Rayleigh. Efek gesek dari gelombang Love adalah kearah horizontal tegak lurus pada rambatan gelombang di permukaan tanah, dan tidak ada gerakan yang bersifat vertikal. Akibat dari gelombang Love ini bangunan seperti digoyang secara mendatar pada dasarnya sehingga gelombang ini berpotensi membuat kerusakan.

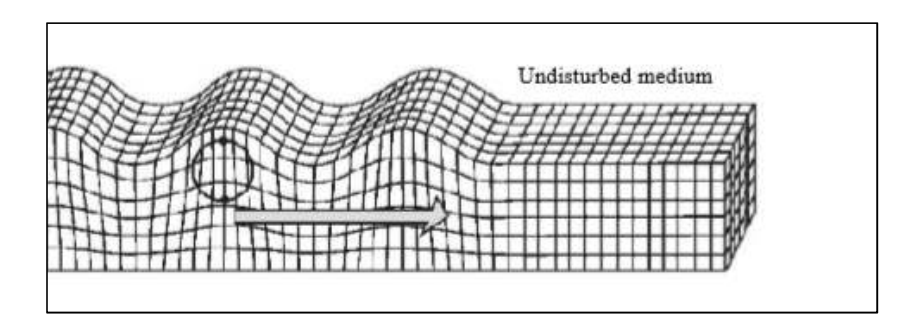


**Gambar 6.** Gerak Gelombang Love [8]

## 2.2.2.b Gelombang Rayleigh

Lord Rayleigh pada tahun 1885 memperkenalkan Gelombang Reyleight. Gelombang Rayleigh terlihat pada permukaan tanah yang bergerak ke atas dan ke bawah dengan waktu perambatan gelombang Rayleigh lebih lambat daripada gelombang Love. Terbentuk gelombang Rayleigh karena adanya interaksi antara bidang gelombang permukaan dan gelombang primer pada permukaan bebas yang kemudian merambat secara parallel terhadap permukaan. Gerakan partikel gelombang Rayleigh adalah vertikal, dengan demikian gelombang Rayleigh hanya dapat ditemukan pada komponen vertikal seismogram. Gelombang Rayleigh adalah salah satu alat yang sesuai untuk dapat menentukan struktur bawah permukaan tanah dari suatu daerah. Persamaan kecepatan gelombang Reyleight ( $V_R$ ) adalah

$$V_R = 0.92\sqrt{V_S} \tag{3}$$



**Gambar 7.** Gerak Gelombang *Rayleigh* [8]

### 2.3 Mikrotremor

Mikrotremor dapat diartikan sebagai geteran tanah yang terus-menerus atau secara konstan yang terjebak dilapisan sedimen permukaan, disebabkan oleh faktor alam dan faktor manusia. Peristiwa alam dapat berupa gelombang laut, gerakan tanah, gempabumi, angina, guncangan tanah, sedangkan faktor manusia dapat berupa aktivitas manusia seperti kendaraan, aktivitas industri. Karakteristik mikrotremor berkaitan dengan kondisi struktur geologi suatu daerah penelitian untuk mengetahui keadaan bawah permukaan tanah. Mikrotremor banyak digunakan seperti Etimasi ketebalan lapisan sedimen dan amplifikasi desa olak alen blitar menggunakan metode mikrotremor HVSR [16], Analisa mikrotremor dengan metode HVSR untuk pemetaan mikrozonasi di kelurahan kejawan putih tembak Surabaya [21]

### 2.4 HVSR (Horizontal To Vertikal Spectral Ratio)

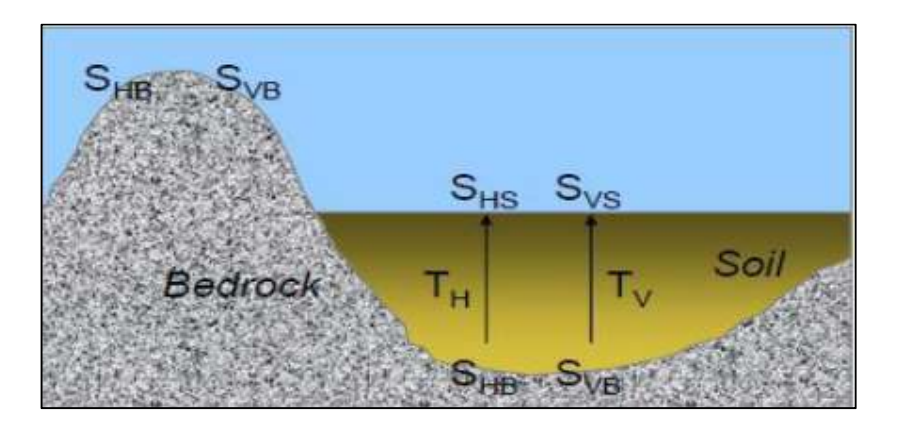
Metode HVSR ditemukan oleh Nogoshi dan Igarashi pada tahun 1971. Metode HVSR merupakan metode yang digunakan sebagai indikator struktur bawah permukaan tanah yang memperlihatkan hubungan antara perbandingan-perbandingan rasio spektrum fourier dari sinyal mikrotremor komponen horizontal terhadap komponen vertikalnya (Nogoshi dan Iragashi,1971). Faktor amplifikasi gerakan horizontal dan vertikal pada permukaan tanah sedimen berdasarkan pada gerakan seismik di permukaan tanah yang bersentuhan langsung dengan batuan dasar di area cekungan yang dilambangkan dengan T<sub>H</sub> dan T<sub>V</sub> [13]. Besarnya faktor amplifikasi horizontal T<sub>H</sub> adalah:

$$T_H = \frac{S_{HS}}{S_{HB}} \tag{4}$$

Dimana  $S_{HS}$  adalah spektrum dari komponen gerak horizontal di permukaan tanah dan  $S_{HB}$  adalah spektrum dari komponen gerak horizontal pada dasar lapisan tanah. Besarnya faktor amplifikasi vertikal  $T_V$  adalah:

$$T_V = \frac{S_{VS}}{S_{VB}} \tag{5}$$

Dimana  $S_{VS}$  adalah spektrum dari komponen gerak vertikal di permukaan tanah dan  $S_{VB}$  adalah spektrum dari komponen gerak vertikal pada dasar lapisan tanah.



Gambar 8. Model cekungan yang berisi material halus [27]

Dari data mikrothemor tersusun dari beberapa jenis gelombang, salah satunya adalah gelombang Rayleigh yang merambat pada lapisan sedimen di batuan dasar. Pengaruh dari gelombang Rayleigh pada rekaman mikrotremor besarnya sama untuk komponen vertikal dan horizontal saat rentang frekuensi (0,2 – 20 Hz), dalam range yang kecil (μm) sehingga rasio spektrum antara komponen horizontal dan vertikal di batuan dasar mendekati:

$$\frac{S_{HB}}{S_{VB}} = 1 \tag{6}$$

Karena rasio spectrum antara komponen horizontal dan vertikal di bauan dasar mendekati nilai sama dengan satu, maka gangguan tang terekam pada permukaan lapisan tanah akibat efek dari gelombang Rayleigh dapat dihilangkan, sehingga hanya dipengaruhi oleh stuktur geologi lokal atau *site effect (TSITE)*.  $T_{SITE}$  menunjukan puncak amplifikasi pada frekuensi dasar dari suatu lokasi. Berdasarkan persamaan (4), (5), dan (6) didapatkan besar  $T_{SITE}$  sebagai berikut:

$$T_{SITE} = \frac{T_H}{T_V} = \frac{S_{HS}}{S_{VS}} \tag{7}$$

Sehingga didapat perhitungan HVSR (Horizontal to Vertikal Spectral Ratio)

$$HVSR = T_{SITE} = \frac{\sqrt{(S_{North-South})^2 + (S_{East-West})^2}}{S_{VS}}$$
 (8)

Pada analisis mikrotremor yang digunakan untuk karakterisasi suatu wilayah. Dalam penggunaan metode ini, digunakan beberapa asumsi [14] bahwa:

- 1. Mikrotremor sebagai besar terdiri dari gelombang geser.
- 2. Komponen vertikal gelombang tidak mengalami amplifikasi lapisan sedimen dan hanya komponen horizontal yang teramplifikasi.
- Tidak ada amplitude yang berlaku dengan arah yang spesifik pada bedrock dengan getaran ke segala arah.
- 4. Gelombang Rayleigh diasumsikan sebagai noise mikrotremor dan diusulkan metode untuk mengeliminasi efek gelombang *Rayleigh*.

[14] mengidentifikasi bahwa jika diasumsikan gelombang geser domain pada mikrotremor, maka rasio spectrum horizontal terhadap vertikal (HVSR) pada data mikrotremor suatu tempat sama dengan fungsi transfer gelombang geser yang bergerak antara permukaan dan batuan dasar disuatu tempat. Nakamura menduga bahwa mikrotremor berperiode pendek sebagaian besar terdiri dari gelombang geser dan gelombang permukaan dianggap sebagai noise.

### 2.5 Transformasi Fourier

Transformasi Fourier digunakan untuk mengubah gelombang seismik dalam domain waktu menjadi domain frekuensi. Transformasi Fourier dikembangkan oleh Jean Baptise Joseph Fourier. Transformasi Fourier menggabungkan sinyalsinyal ke dalam jumlahan tak hingga dari bentuk sinusoidal dengan frekuensi dan nilai fase tertentu. Transformasi Fourier dalam kasus *continous-time* dan *continous-frequency*.  $X^F(\omega)$  adalah hasil transformasi fourier,  $\omega$  adalah frekuensi angular (radian per detik), dan x(t) merupakan sinyal dengan waktu yang kontinu. Transformasi Fourier bersifat *reversible*, suatu nilai dapat ditransformasi ke dalam domain frekuensi (yang memuat informasi frekuensi-amplitudo), dan diinversikan lagi kedalam domain waktu (yang memuat informasi waktu-amplitudo). Dari kedua informasi tersebut tidak bias didapatkan secara bersamaan. Representasi fungsi dalam domain frekuensi tidak memuat informasi waktu, demikian sebaliknya.

$$X^{F}(\omega) = \int_{-\infty}^{+\infty} x(t)e^{-j\omega t}dt \tag{9}$$

$$X^{F}(\omega) = \int_{-\infty}^{+\infty} X_{(t)} \cos(\omega t) dt - i \int_{-\infty}^{+\infty} X_{(t)} \sin(\omega t) dt \qquad (10)$$

Dimana X(t) adalah fungsi dalam domain waktu,  $e^{-j\omega t}$  adalah fungsi kernel, dan  $X^F(\omega)$  adalah fungsi dalam domain frekuensi.

Persamaan (9) akan memiliki nilai apabila terpenuhinya syarat:

$$\int_{-\infty}^{+\infty} |x(t)| dt < \infty \tag{11}$$

Untuk mendapatkan kembali sinyal berdomain waktu, perlu dilakukan inversi pada Transformasi Fourier

$$x(t) = \frac{1}{2\pi} \int_{-\infty}^{+\infty} X^F(\omega) e^{+j\omega t} d\omega$$
 (12)

# 2.6 Standar SESAME

Standar SESAME memiliki parameter dan rekomendasi pada saat pengukuran sebagai berikut:

Tabel 2. Syarat Keyakinan (reliability) [26]

Parameter	Rekomendasi		
Durasi perekaman	$f_0$ minimum yang diharapkan	Rekomendasi durasi	
	(Hz)	perekaman minimum	
		(Hz)	
	0.2	30'	
	0.5	20'	
	1	10'	
	2	5	
	5	2'	
	10		
Pengukuran jarak	Mikrozonasi: Mulailah denga	an jarak yang besar	
	(misalnya 500 meter)		
	Respons situs tunggal: jangan pernah menggunakan titik		
	pengukuran tunggal untuk mendapatkan nilai $f_0$ ,		
	setidaknya tiga titik pengukuran		
Parameter	Tingkatkan sensor seperti yang direkomendasikan oleh		
perekaman	pabrik. Perbaiki level penguatan semaksimal mungkin		
	tanpa saturasi sinyal		
Kopling sensor	Setel sensor langsung di tanah, bila memungkinkan		
tanah in situ	hindari pengukuran sensor pada" dasar lunak" seperti		
	lumpur, tanah yang dibajak, rumput tinggi) atau tanah		
	yan jenuh setelah hujan		
Kopling sensor	Hindari piring dari bahan "lunak" seperti karet busa,		
tanah buatan	kardus. Pada lereng yang curam yang tida		
	memungkinkan peralatan senso	or yang benar, pasang	
	sensor dalam tumpukan pasir a	atau dalam wadah yang	
	berisi pasie. Jika bersalju pasang pelat logam atau ka		
	ataupun wadah yang berisis	dengan pasie untuk	
	Pengukuran jarak  Parameter perekaman  Kopling sensor tanah in situ  Kopling sensor	Durasi perekaman    f_0 minimum yang diharapkan (Hz)	

No	Parameter	Rekomendasi		
		menghindari kemiringan sensor karena pencairan local		
6.	Struktur terdekat	Hindari merekam di dekat struktur seperti bangunan,		
		pohon. Jika angina bertiup (lebih cepat dari sekitar 5		
		m/s). ini sangat berpengaruh terhadap hasil H/V dengan		
		mengetahui frekuensi rendah di kurva. Hindari		
		mengukur struktur bawah tanah seperti tempat parker,		
		pipa.		
7.	Kondisi cuaca	Angin: lindungi sensor dari angina (Lebih cepat dari		
		sekitar 5m/s). Hujan: hindari pengukuran dibawah hujan		
		lebat. Suhu: Periksa sensor dan instruksi pabrik		
		perekam. Gangguan meteorology: Menunjukkan pada		
		lembar lapangan apakah pengukuran dilakukan selama		
		peristiwa meteorology tekanan rendah		
8.	Gangguan	Sumber monokromatik: hindari pengukuran didekat		
		mesin konstruksi, mesin indukstri, pompa, generator.		
		Transien: langkah, mobil, tambah durasi rekaman untuk		
		memungkinankan jendela yang cukup untuk analisis,		
		setelah pemindahan sementara		

### 2.6.1 Untuk kondisi yang aktual

Persyaratan pertama, sebelum ekstraksi informasi dan interpretasi apa pun, menyangkut keyakinan kurva H/V. keyakinan yaitu dinyatakan bahwa kurva H/V yang diperoleh aktual dengan rekaman yang dipilih, mewakili kurva H/V yang dapat diperoleh dengan rekaman getaran sekitar dan dengan pemilihan jendela yang secara fisik wajar.

Persyaratan diatas memiliki beberapa konsekuensi yaitu:

- 1. Agar puncak menjadi signitifikan, maka kondisi berikut harus terpenuhi  $f_0 > 10/l_w$ .
- 2. Jumlah besar jendela dan siklus yang disarankan saat pemilihan jendela secara otomatis dengan parameter standar, jumlah total siklus yang signifikan  $n_c = l_w \cdot n_w \cdot f_0$  lebih besar 200 yang artinya untuk puncak 1

Hz bahwa setidaknya ada 20 jendela masing-masing 10 detik atau untuk puncak pada 0,5 Hz, 10 jendela masing-masing 40 detik. Disarankan untuk keamanan maka jumlah minimum nc dinaikan 2 kali pada frekuensi rendah (misal hingga 400 dan 4 hingga 5 kali pada frekuensi tinggi, dimana transien jauh lebih sering (misal hingga 1000).

3. Diperlukan tingkat hamburan yang rendah diantara semua jendela. Besar standar deviasi berarti getaran sektiar sangat tidak stasioner dan mengalami beberapa jenis gangguan secara signifikan mempengaruhi puncak frekuensi H/V. Oleh sebab itu disarankan  $\sigma_A(f) < 2 \ untuk \ 0.5 \ f_0 < f < 2 \ f_0$  jika  $f_0 > 0.5 \ Hz$  dan  $\sigma_A(f) < 3 \ untuk \ 0.5 \ f_0 < f < 2 \ f_0$  jika  $f_0 < 0.5 \ Hz$ .

# 2.6.2 Identifikasi $f_0$

### 2.6.2.a Clear Peak

Clear peak terpenuhi jika kurva H/V menunjukkan "Clear single" puncak H/V

- 1. Konsep "keyakinan" berkaitan dengan beberapa karakteristik: amplitudo puncak H/V dan nilai relatifnya berhubungan dengan nilai frekuensi H/V, nilai dari standar deviasi  $\sigma_A(f)$  dan standar deviasi  $\sigma_f$  dari perkiraan  $f_0$  dari masing-masing window.
- 2. Property "tunggal" terkait dengan fakta bahwa tidak ada frekuensi lain, apakah amplitude H/V menunjukan puncak "Clear" lainnya yang memnuhi kriteria yang sama

Kriteria kuantitatif yang disarankan untuk kondisi amplitudo "aktual"

- 1. Keadaan  $f^-$ = Frekuensi antara  $f_0/4$ dan  $f_0$  untuk itu  $A_{\frac{H}{V}}(f^-) < A_0/2$ .
- 2. Keadaan  $f^+$ = Frekuensi antara  $f_0$  dan  $4f_0$  untuk itu  $A_{\frac{H}{V}}(f^+) < A_0/2$ .
- 3.  $A_0 > 2$ .

# Kondisi Stabilitas

- 4. Puncak akan muncul pada frekuensi yang sama (dalam persentase  $\pm$  5%) pada kurva H/V yang sesuai dengan standar deviasi + dan .
- 5.  $\sigma_f$  lebih rendah dari ambang batas frekuensi  $\varepsilon(f)$  ,  $\sigma_f < \varepsilon(f)$ .
- 6.  $\sigma_A(f_0)$  lebih rendah dari ambang batas frekuensi  $\theta(f)$ ,  $\sigma_A(f_0) < \theta(f_0)$ .

Tabel 3. Sifat gelombang getaran sekitar[26]

	Natural	Human		
Nama	Mikroseismik	Mikrotremor		
Frekuensi	$0.1 - f_{nh}(0.5 \text{ Hz sampai } 1$	$f_{nh}$ (0.5 Hz sampai 1 Hz) ->10 Hz		
	Hz			
Asal	Lautan	Lalu lintas/ industri/aktivitas manusia		
Kejadian	Gelombang permukaan	Gelombang permukaan + gelombang		
gelombang		badan		
Variabilitas	Berkaitan dengan badai	Siang/malam		
amplitude	samudera			
Masalah Reyleight	Dimoninasi gelombang	Amplitudo sebanding. Gelombang		
/ Love	Rayleigh	Love membawa sedikit lebih banyak		
		energi		
Masalah mode	Terutama fundamental	Kemungkinan mode yang lebih		
fundamental/lebh		tinggi oada frekuensi tinggi		
tinggi				
Further Comments	Gelombang local mungkin	Beberapa gelombang monokromatik		
	berbeda dari gelombang	terkait dengan mesin. Kedekatan		
	datang	sumber, serta panjang gelombang		
		pendek, mungki membatasi		
		kepentingan kuantitatif gelombang		
		yang dihasilkan oleh difaksi pada		
		kedalaman		

#### 2.7 Mikrozonasi

Mikrozonasi adalah pembagian zona berdasarkan parameter-parameter tertentu yang memiliki karakteristik seperti periode natural, amplifikasi natural, dan getaran tanah. Variasi getaran tanah diakibatkan oleh faktor geologi setempat dan akan dipergunakan untuk mitigasi kebencanaan daerah. Pada tahun 1950 pengukuran menggunakan mikrotremor diperkenalkan dan dikembangkan, dan sudah menjadi metode yang digunakan untuk mngestimasi karakteristik lapisan tanah dan digunakan secara terus-menerus untuk mikrozonasi. Analisa metode HVSR untuk mengestimasi frekuensi natural dan amplikasi dari data mikrotremor yang diperkenalkan oleh Nakamura (2000). Negara Indonesia adalah salah satu negara yang mengembangkan penelitian mikrozonasi untuk pemetaan daerah-daerah rawan bencana. Salah satu penelitian mengembangkan studi tentang mikrozonasi seperti, Mikrozonasi percepatan geteran tanah maksimum menggunakan metode kanai (1966) dan intensitas gempabumi di kawasan jalur sesar opak [22]

### 2.8 Frekuensi Natural

Frekuensi dominan atau frekuensi natural adalah suatu nilai frekuensi yang sering muncul, sehingga nilai frekuensi dapat meggambarkan jenis dan karakteristik lapisan batuan dari suatu wilayah. Frekuensi dominan berkaitan dengan kedalaman gelombang pantul di bawah permukaan bumi. Gelombang pantul merupakan batas antara sedimen lepas dengan batuan keras, maka dengan demikian semakin besar frekuensi yang terbentuk dari pemantulan gelombang maka semakin tipis (lapuk) sedimennya. Nilai periode natural digunakan untuk klasifikasi lapisan batuan yang ada pada lokasi penelitian. Nilai periode natural didapatkan berdasarkan perhitungan sebagai berikiut:

$$T_0 = \frac{1}{f_0} \tag{13}$$

Dengan  $T_0$  adalah periode natural, dan  $f_0$  adalah frekuensi natural. Dalam hal ini Kanai mengklasifikasi tanah berdasarkan frekuensi natural dan Zhao

mengklasifikasikan kedalam empat kelas yang mengacu pada *site claasifikation* dari HEHRP (*National Eartquake Hazard Reduction Program*)

**Tabel 4**. Klasifikasi tanah [16]

Klasifikasi Tanah	Fn(HZ)	Deskripsi
Tipe IV	6,6-20	Batuan tersier atau lebih tua. Terdiri dari batuan
		hard sandy, gravel,dll.
Tipe III	4-10	Batuan alluvial. Terdiri dari sandy-gravel, sandy
		hard clay, loam,dll. Ketebalan sedimen permukaan
		kategori menengah 5-10 meter
Tipe II	2,5-4	Batuan alluvia. Terdiri dari sandy-gravel, dandy
		hard clay, loam,dll. Ketebalan sedimen permukaan
		kategori tebal, sekitar 10-30 meter
TIPE I	<2,5	Batuan alluvial, yang terbentuk dari sedimentasi
		delta, top soil, lumpur, dll. Ketebalan sedimen
		permukaan sangat tebal >30 meter

**Tabel 5**. Klasifikasi tanah berdasarkan HEHRP class [23]

Site Classes	Periode natural (Site Natural Periode(s))	Kelas HEHRP (HEHRP Class)	Keterangan (Deskripsion)	
SC I	$T_{\rm G} < 0.2 \rm s$	A+B	Rock / Stiff Soil	
SC II	$0.2s \le T_G < 0.4s$	С	Hard Soil	
SC III	$0.4s \le T_G < 0.6s$	D	Medium Soil	
SC IV	$T_G \ge 0.6s$	Е	Soft Soil	

### 2.9 Amplifikasi Natural

Amplifikasi natural merupakan perbesaran gelombang tanah adanya perbedaan signifikan antar lapisan, gelombang tanah akan mengalami perbesaran karena adanya perbedaan medium padat ke medium yang lebih lunak. Nilai faktor amplifikasi dapat berubah jika batuan telah mengalami perubahan (deformasi) seperti pelapukan, persesaran, pelipatan yang mengubah bentuk dari sifat fisik batuan.

Nilai penguatan amplifikasi tanah berkaitan dengan kontrak impedasi lapisan dipermukaan dan lapisan dibawahnya. Jika mengalami kontras impendasi kedua lapisan tersebut tinggi maka akan mengalami faktor menguatan yang tinggi, begitu sebaliknya. Sehingga persamaan anatara fungsi perbandingan kontras impendasi sebagai berikut:

$$A_0 = \frac{\rho_b V_b}{\rho_s V_s} \tag{14}$$

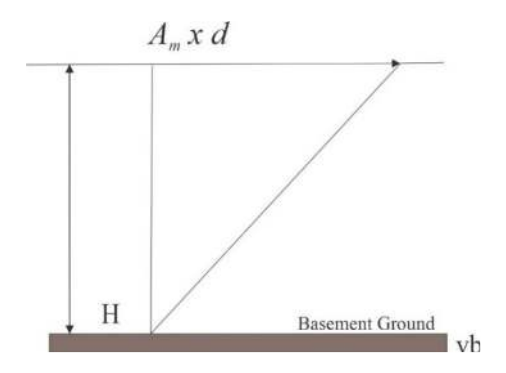
Dengan  $A_0$  adalah faktor amplifikasi,  $\rho_b$  adalah densitas batuan dasar(m/s),  $V_b$  adalah kecepatan rambat gelombang batuan dasar(m/s),  $\rho_s$  adalah densitas batuan lunak (m/s),  $V_s$  adalah kecepetan rambat gelombang batuan lunak (m/s).

**Tabel 6.** Klasifikasi nilai faktor amplifikasi [5]

Zona	Klasifikasi	Nilai Faktor Amplifikasi		
1	Rendah	<3		
2	Sedang	3-6		
3	Tinggi	6-9		
4	Sangat Tinggi	≥9		

### 2.10 Indeks Kerawanan Gempa (Kg)

Nilai indeks kerentanan gempa digunakan untuk memperhitungkan suatu daerah yang rawan terhadap gempabumi yang diakibatkan oleh adanya hubungan antara frekuensi natural dan amplifikasi atau didapatkan dari pengukuran dipermukaan serta perubahan akibat pengaruh gempabumi.



Gambar 9. Surface ground deformasi [13]

Kerentanan pada tanah perlu diperhatikan pada nilai pergeseran regangan ( $\gamma$ ) pada lapisan tanah akibat terjadinya gempabumi [15]. Dalam menentukan indeks kerentanan gempa yang harus diperhatikan adalah *shear strain* pada permukaan tanah. Pada Gambar 8 adalah deformasi dari *shear strain* permukaan tanah, nilai  $\gamma$  ditunjukan pada persamaa berikut:

$$\gamma = A_m x \frac{d}{H} \tag{14}$$

Dengan:  $A_m$  merupakan indeks faktor amplifikasi, h adalah ketebalan lapisan permukaan nilai perpindahan gempa dari dasar bumi. Sedang kecepatan gelombang dasar dan permukaan tanah ditunjukkan Vb dan Vs maka pengaruh frekuensi natural ditunjukkan oleh persamaan berikut:

$$f_0 = \frac{V_b}{4A_m x h} \tag{15}$$

Nalai percepatan tanah dibawah permukaan  $(\alpha_b)$  dirumuskan sebagai berikut:

$$\alpha_b = (2\pi f_0)^2 x d {16}$$

Sedangkan untuk mencari perpindahan gempa dapat dengan menggunakan rumus (13) seabagai berikut:

$$d = \frac{\alpha_b}{(2\pi f_0)^2} \tag{17}$$

Sehingga persamaan (15) dan (17) dapat disubtitusi ke persamaan (14). Persamaan menjadi:

$$\gamma = \left(\frac{A_m x \alpha_b}{(2\pi f_0)^2}\right) x \left(4A_g x \frac{f_0}{V_b}\right) \tag{18}$$

$$\gamma = \frac{A_m^2}{f_0} x \frac{a_b}{\pi^2 V_b} \tag{19}$$

Untuk menghitung *groud shear strain* lapisan tanah permukaan disuatu tempat saat terjadi gempabumi, Nakamura (1997) merumuskan bahwa:

$$\gamma = K_g \frac{\alpha_b}{\pi^2 V_b} \tag{20}$$

Jika nilai  $V_b$  konstan di daerah yang luas dan  $K_g$  adalah nilai yang terukur pada titik pengukuran. Sehingga persamaan *ground shear strain* sebagai berikut:

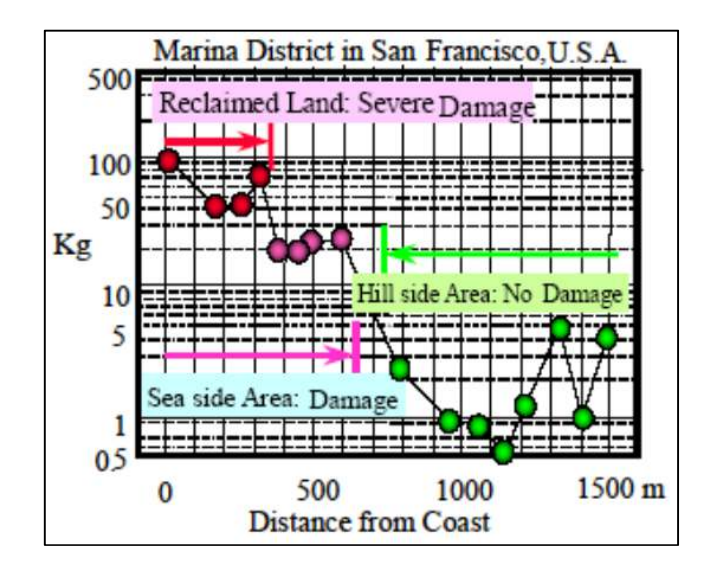
$$\gamma = K_g x \alpha_b (10^{-6}) \tag{21}$$

**Tabel 7**. *Strain dependence of dynamic properties of soil* [2]

Size of Strain	10-6	10-5	10-4	10-3	10-2	10-1	
Phenomena	Wave,	Vibration	Crack, Se	ettlement	La	ndslide,	Soil
					Co	mpaction, Liq	quefaction
Dynamic Properties	Elastic	ity	Elasto-Pl	asticity	Со	llapse	
				Repeat-	Effect,	Speed-Eff	ect of
				Loading	5		

Nilai kerentanan gempa adalah suatu indeks kerentanan untuk mempermudah untuk mengindentifikasi dari titik-titik lokasi pengukuran. Nilai kerentanan gempa memperlihatkan nilai pengukuran yang digunakan untuk menentukan tingkat ketahanan atau lapisan bumi. Dapat dihitung dengan menggunkan rumus:

$$K_g = \frac{A_m^2}{f_0} \tag{22}$$



**Gambar 10.** Nilai kerentanan gempa pada gempabumi di area maria san francisco USA Yutaka [12]

Indeks kerentanan gempa bergantung pada kondisi lapisan tanah. Melihat kondisi kerusakan yang terjadi akibat gempabumi yang terjadi di San fransisco. Nakamura memaparkan bahwa kerusakan yang terjadi akibat gempabumi sebanding dengan nilai indeks kerentanan gempa. Pada Gambar 10 kawasan pesisir dan daerah reklamasi didominasi atas batuan lunak yang mempunyai nilai kerentanan gempa yang lebih tinggi sedangkan pada daerah perbukitan memiliki nilai indeks kerentanan gempa yang sangat rendah dikarenakan oleh tanah yang keras.

**Tabel 8.** Tingkat Resiko GempaBumi [3]

Zona	Nilai Kg
Resiko sangat kecil	<25
Resiko kecil	25-50
Resiko sedang satu	50-75
Resiko sedang dua	75-100
Resiko sedang tiga	100-125
Resiko besar satu	125-150
Resiko besar dua	150-200
Resiko besar tiga	200-300
Resiko sangat besar satu	300-600
Resiko sangat besar dua	>600

### 2.11 PGA (Pecepatan Tanah Maksimum)

Parameter penting dalam mengestimasi kerentanan gempabumi merupakan percepatan getaran tanah maksimum yang terjadi pada daerah rawan bencana, karena dapa menggambarkan kekuatan gempa akibat gempabumi yang pernah terjadi pada daerah tersebut. Percepatan geteran tanah maksimum adalah nilai percepatan geteran tanah terbesar yang pernah terjadi akibat gelombang gempabumi disuatu daerah. Percepatan getaran tanah maksimum dapat ditinjau dari perjalaran gelombang seismik pada *bedrock* dari pusat gempa yang menunjukkan karakteristik lapisan tanah tempat penelitian. Karakteristik lapisan tanah ditentukan oleh periode natural dari lapisan tanah bila ada geteran seismik. Periode natural akan mempengaruhi besarnya percepatan batuan pada batuan

dasar dan pada permukaan. Sedangkan perbedaan respon seismik pada bedrock dan permukaan akan menentukan faktor pembesaran G(T). Percepatan getaran tanah maksimum sangat berpengaruh pada besarnya magnitudo, jarak hiposenter, dan periode natural. Sehingga untuk menghitung percepatan tanah maksimum meggunakan metode Kanai. Rumus persamaan empiris percepatan tanah maksimum sebagai berikut [10]:

$$\alpha_q = G(T)\alpha_0 \tag{23}$$

Dengan:

$$\alpha_0 = \frac{1}{\tau} 10^{(0.61M) - \left(1.66 + \frac{3.66}{R}\right) \log R + 0.167 - \frac{1.83}{R}}$$
 (24)

$$G(T) = \frac{1}{\sqrt{1 - \left(\frac{T}{T_0}\right)^2 + \left(\frac{0.2T}{\sqrt{T_0}T_0}\right)^2}}$$
 (25)

Jika terjadi resonansi  $T=T_0$  maka G(T) akan mencapai maksimum dimana gelombang yang melalui lapisan sedimen kan menimbulkan resonansi yang disebabkan oleh gelombang bumi yang memiliki spectrum yang lebih lebar, sehingga jika gelombang gempa sama dengan periode natural tanah dari lapisan sedimen yang akan diperkuat. Dengan pembesaran harga G(T) maka percepatan tanah pada permukaan akan mencapai maksimum dapat dituliskan melalui persamaan berikut:

$$\alpha_g = \frac{5}{\sqrt{T_0}} 10^{(0.61M) - \left(1.66 + \frac{3.60}{R}\right) \log R + 0.167 - \frac{1.83}{R}}$$
 (26)

Dimana G(T) adalah faktor perbesaran,  $\alpha_g$  adalah percepatan tanah pada permukaan(gal),  $\alpha_0$  adalah percepatan tanah pada base rock (gal), T adalah periode gelombang gempa,  $T_0$  adalah periode natural pada lokasi penelitian, M adalah magnitude gempabumi(skala Richter), dan R adalah jarak hiposenter(km).